

Baer S. The LRRK2 G2019S mutation is associated with Parkinson disease and concomitant non - skin cancers. *Neurology*, 2012, 78:781-786.

[33] Ruiz-Martínez J, de la Riva P, Rodríguez-Oroz MC, Mondragón Rezola E, Bergareche A, Gorostidi A, Gago B, Estanga A,

Larrañaga N, Sarasqueta C, López de Munain A, Martí Massó JF. Prevalence of cancer in Parkinson's disease related to R1441G and G2019S mutations in LRRK2. *Mov Disord*, 2014, 29:750-755.

(收稿日期:2016-12-02)

· 临床医学图像 ·

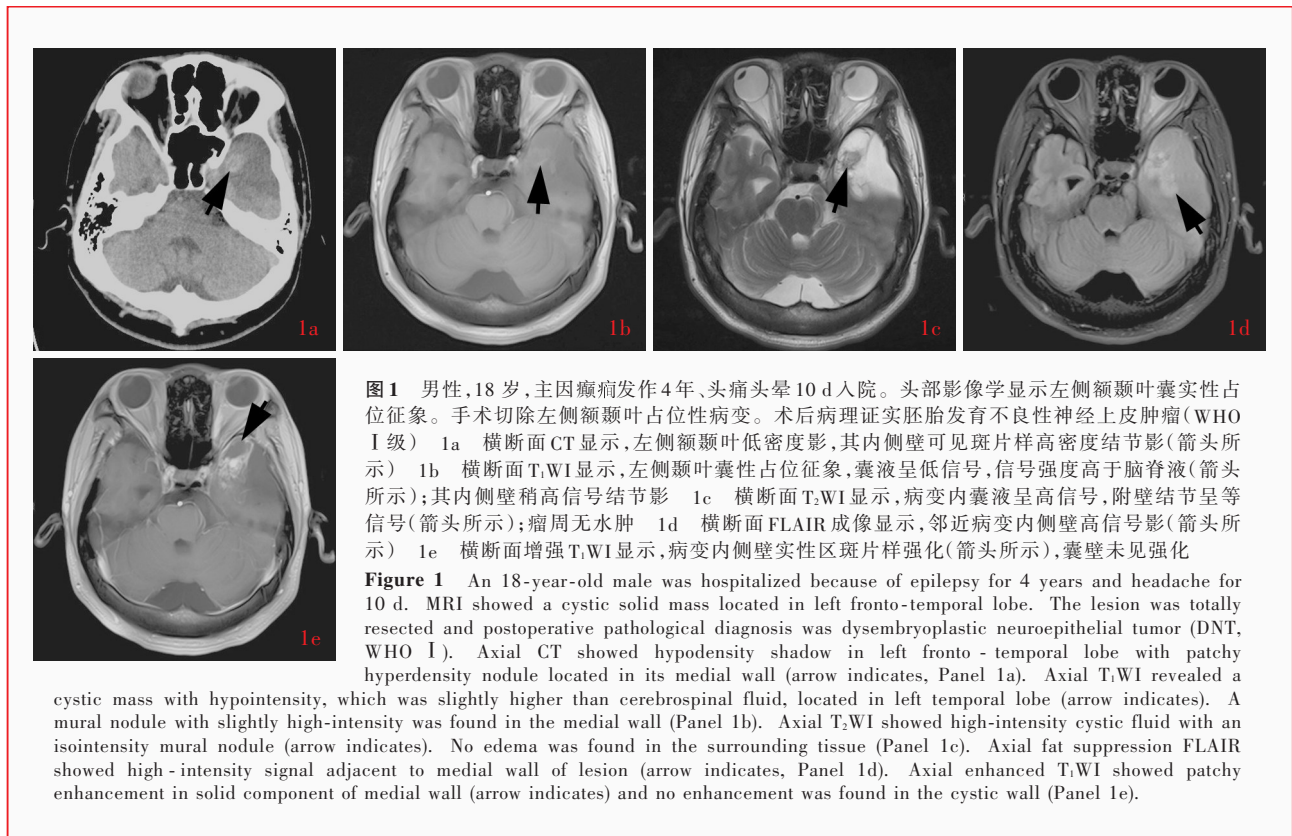
胚胎发育不良性神经上皮肿瘤

doi: 10.3969/j.issn.1672-6731.2017.01.015

Dysembryoplastic neuroepithelial tumor

HAN Tong

Department of Neuroradiology, Tianjin Huanhu Hospital, Tianjin 300350, China (Email: mrbold@163.com)



胚胎发育不良性神经上皮肿瘤(DNT,WHO I 级)是中枢神经系统少见良性肿瘤,属神经元和混合性神经-胶质肿瘤范畴。1988 年由 Daumas-Duport 等首次命名。多见于儿童和青年,好发于大脑皮质,颞叶最为多见,其次为额叶,基底节、脑室、脑干、小脑、透明隔和胼胝体等亦有报道,肿瘤生长缓慢,临床主要表现为难治性癫痫,预后良好,术前明确诊断十分重要。典型胚胎发育不良性神经上皮肿瘤呈底部位于大脑皮质、尖部朝向脑深部的楔形或脑回样结构,囊性或囊实性,边界清晰,瘤周无水肿,无明显占位征象,邻近大脑皮质可并存皮质发育不良。CT 表现为皮质和皮质下界限清晰的低密度影(图 1a),20% 病灶可见斑片样钙化;位于大脑凸面的肿瘤因生长缓慢致颅骨内板受压变薄。MRI 显示病灶内多发结节样和假囊性结构,T₁WI 呈低信号,信号强度略高于脑脊液(图 1b);T₂WI 可见囊性或多囊性“肥皂泡”样结构,呈高信号(图 1c),部分病变内有分隔;FLAIR 成像呈略低或高信号,病变边缘可见线样、斑片样或环形更高信号带,即“环形征”(图 1d),具有诊断特异性,可能与肿瘤边缘围绕含胶质-神经元成分的疏松组织有关。部分病变可见附壁结节,信号强度略高于大脑皮质。增强扫描可见少部分病变内或边缘线样、斑片样、结节样或环形强化(图 1e),系增生的神经胶质细胞伴血管增生所致。应注意与位于皮质和皮质下的囊性肿瘤、带附壁结节的肿瘤(如节细胞胶质瘤、多形性黄色星形细胞瘤、毛细型星形细胞瘤、少突胶质细胞瘤)相鉴别。

(天津市环湖医院神经放射科韩彤供稿)